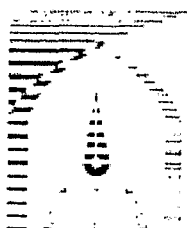


٦٦٩



٢٠١٩



دانشگاه تربیت مدرس

دانشکده فنی - مهندسی

پایان نامه دوره کارشناسی ارشد نانوفناوری

عنوان:

بررسی خواص سطحی و نواحی مغناطیسی آلیاژهای مغناطیسی نرم آمورف و
نانوبلور(فاینمیت) با استفاده از میکروسکوپ نیروی اتمی و
میکروسکوپ نیروی مغناطیسی

نگارش:

مهرنوش نادری

استاد راهنما:

دکتر محمد کاظم مروج فرشی

استاد مشاور:

دکتر مهدی طهرانچی

آبان ۱۳۸۶

۴۳۲۹۱



بسم الله الرحمن الرحيم

تاییدیه اعضای هیات داوران حاضر در جلسه دفاع از پایان

خانم مهرنوش نادری پایان نامه ۸ واحدی خود را با عنوان بررسی خواص سطحی و
ناوی مغناطیسی آلیاژهای مغناطیسی نرم آمورف و نانو کریستال (فاینمت) با
استفاده از میکروسکوپ نیروی اقی (AFM) و میکروسکوپ نیروی مغناطیسی
(MFM) در تاریخ ۱۳۸۶/۸/۲۳ ارائه کردند.

اعضای هیات داوران نسخه نهایی این پایان نامه را از نظر فرم و محتوا تایید کرده و
پذیرش آنرا برای تکمیل درجه کارشناسی ارشد مهندسی مواد - نانو فناوری پیشنهاد می
کنند.

عضوی هیات داوران	نام و نام خانوادگی	رتبه علمی	امضا
استاد راهنما	دکتر محمد کاظم مروج فرشی	استاد	
استاد مشاور	دکتر محمد مهدی طهرانچی	استاد	
استاد ناظر	دکتر وحید احمدی	استاد	
استاد ناظر	دکتر مجید قناعت شعار	استادیار	
مدیر گروه (یا نماینده گروه تخصصی)	دکتر وحید احمدی	استاد	

۹۳۲۹۱



دستور العمل حق مالکیت مادی و معنوی در مورد نتایج پژوهشی‌های علمی دانشگاه تربیت مدرس

مقدمه: با غنایت به سیاست‌های پژوهشی دانشگاه در راستای تحقق عدالت و کرامت انسانها که لازمه شکوفایی علمی و فنی است و رعایت حقوق مادی و معنوی دانشگاه و پژوهشگران لازم است اعضای هیات علمی دانشجویان دانش آموختگان و دیگر همکاران طرح درمورد نتایج پژوهشی‌های علمی که تحت عنوانین پایان نامه و ساله و طرحهای تحقیقاتی با هماهنگی دانشگاه انجام شده است موارد ذیل را رعایت نمایید:

ماده ۱: حقوق مادی و معنوی پایان نامه‌ها / رساله‌های مصوب دانشگاه متعلق به دانشگاه است و هر گونه بهره‌برداری از آن باید با ذکر نام دانشگاه و رعایت آیین‌نامه‌ها و دستورالعمل‌های مصوب دانشگاه باشد.

ماده ۲- انتشار مقاله یا مقالات مستخرج از پایان نامه / رساله به صورت چاپ در نشریات علمی و یا ارائه در مجتمع علمی می‌باید به نام دانشگاه بوده و استاد راهنمای نویسنده مسئول مقاله باشند. تبصره: در مقالاتی که پس از دانش آموختگی بصورت ترکیبی از اطلاعات جدید و نتایج حاصل از پایان‌نامه / رساله نیز منتشر می‌شود نیز باید نام دانشگاه درج شود.

ماده ۳- انتشار کتاب حاصل از نتایج پایان‌نامه / رساله و تمامی طرحهای تحقیقاتی دانشگاه باید با مجوز کتبی صادره از طریق حوزه پژوهشی دانشگاه و بر اساس آیین‌نامه‌های مصوب انجام می‌شود.

ماده ۴- ثبت اختراع و تدوین دانش فنی و یا ارائه در جشنواره‌های ملی، منطقه‌ای و بین‌المللی که حاصل نتایج مستخرج از پایان‌نامه / رساله و تمامی طرح‌های تحقیقاتی دانشگاه باید با هماهنگی استاد راهنمای یا مجری طرح از طریق حوزه پژوهشی دانشگاه انجام گیرد.

ماده ۵- این دستورالعمل در ۵ ماده و یک تبصره در تاریخ ۱۳۸۴/۴/۲۵ در شورای پژوهشی دانشگاه به تصویب رسیده و از تاریخ تصویب لازم الاجرا است و هر گونه تخلف از مفاد این دستورالعمل، از طریق مراجع قانونی قابل پیگیری خواهد بود.



هرمزی پارسی
۸۶/۰۹/۲۷

تقدیم به

پدرم

مادرم

وسرزمینم

کوهران ارزشمند زندگیم

با سپاس فراوان از

اساتید گرانقدر آقایان دکتر محمد کاظم مروج فرشی و دکتر محمد مهدی طهرانچی بخاطر

راهنمایی ها و مساعدت هایشان در انجام پژوهش

جناب آقای دکتر امیرعبدالله زاده و جناب آقای دکتر رسول صراف ماموری، خانم مهندس زارع،

آقای مجید محسنی و آقای مهندس کارگر بخاطر کمک های فراوانشان برای به انجام رسیدن کار.

چکیده

در این کار نمونه مورد بررسی آلیاز مغناطیسی آهن پایه با ترکیب $Fe_{73.5}Si_{13.5}B_9Cu_1Nb_3$ می باشد که بهترین ترکیب یافت شده برای آلیازهای فاینمت است. در ابتدا، دمای کریستالیزاسیون نمونه توسط آنالیز حرارتی تفاضلی بدست آمد. سپس نمونه در دماهای مختلف تحت خلاء مورد بازپخت حرارتی قرار گرفت و خواص ساختاری آن توسط XRD بررسی شد. نتایج XRD تشکیل نانوبلورهای FeSi را در دماهای بالاتر از دمای کریستالیزاسیون اولیه با اندازه $10-20\text{ nm}$ نشان می دهد که از رابطه شرمناسبه شده و نتایج آن در جدول (۱-۳) آمده است. خواص سطحی و مغناطیسی این آلیاز نیز توسط میکروسکوپ نیروی اتمی و میکروسکوپ نیروی مغناطیسی مورد بررسی قرار گرفت که نتیجه آن کاهش زبری سطح و نیز کاهش اندازه حوزه های مغناطیسی با بازپخت حرارتی نمونه و در نتیجه بهبود خواص مغناطیسی نرم آلیاز در دمای بین دمای کریستالیزاسیون اولیه و ثانویه بود. در حالیکه با افزایش دما به بالای دمای کریستالیزاسیون ثانویه با تشکیل فازهای بورید در آلیاز، خواص مغناطیسی نرم کاهش یافت. وابستگی خواص مغناطیسی به میکروساختار در مواد مغناطیسی نانوساختار توسط مدل ناهمسانگردی تصادفی هرزز بیان شد که برای اندازه ذرات کمتر از طول تبادلی صادق است.

واژه های کلیدی : نانو بلور، آلیاز فاینمت ، بازپخت حرارتی

فهرست مطالب

عنوان	صفحه
-------	------

فصل اول

مقدمه

۱	- تاریخچه
۵	- مواد مغناطیسی نرم و سخت
۶	- مناطق اتمی
۸	- تقسیم بندی مواد مغناطیسی
۹	- ۱- دیا مغناطیس ها
۱۰	- ۲- پارا مغناطیس ها
۱۱	- ۳- فرو مغناطیس ها

فصل دوم

معرفی مواد آمورف و نانوبلور و برخی ویژگی های آنها

۱۶	- مقدمه
۱۷	- خواص و ویژگی های آلیاژ های مغناطیسی نرم
۲۰	- آلیاژ های آمورف
۲۱	- ساختار مواد نانوبلور
۲۳	- بررسی های ترمودینامیکی و سینتیکی گذار برای مواد آمورف و نانوبلور
۲۵	- بررسی های ترمودینامیکی و سینتیکی گذار برای مواد آمورف و نانوبلور

۶-۲- بررسی ویژگی های کاربردی آلیاژهای مغناطیسی نرم	۲۴
۷-۲- خواص مغناطیسی مواد نانوبلور	۲۶
۷-۲-۱- وادارندگی مغناطیسی	۲۶
۷-۲-۲- اشباع مغناطیسی	۲۷
۸-۲- کاربردهای آلیاژهای مغناطیسی فاینمت	۲۹
۸-۲-۱- ابزارهای مغناطیسی برای تشخیص وسایل نقلیه پارک شده	۳۰
۸-۲-۲- هسته های توانی پالسی	۳۱
۸-۲-۳- ابزارهای کدینگ برپایه نوارهای مگنتوالاستیک	۳۱
۹-۲- حوزه های مغناطیسی و حرکت دیوار حوزه ها	۳۱
۱۰-۲- سهم انرژی در شکل گیری حوزه	۳۵
۱۰-۲-۱- انرژی تبادلی	۳۵
۱۰-۲-۲- انرژی مگنتواستاتیک	۳۶
۱۰-۲-۳- انرژی ناهمسانگردی	۳۷
۱۰-۲-۴- انرژی مگنتوالاستیک	۳۹
۱۰-۲-۵- انرژی دیوار حوزه	۴۰

فصل سوم

نتایج تجربی و بحث

۱-۳- مقدمه	۴۲
۲-۳- آنالیز حرارتی تفاضلی	۴۴

۳-۳-۳- میکروسکوپ نیروی اتمی(AFM)	۴۶
۴-۳- پراش پرتو X فازهای بلوری	۴۸
۵-۳- روش های مشاهده الگوی حوزه های مغناطیسی	۵۰
۱-۵-۳- روش بیتر	۵۰
۲-۵-۳- روش های مگنتوپتیکی	۵۱
۳-۵-۳- میکروسکوپ الکترونی عبوری(TEM)	۵۱
۴-۵-۳- معرفی میکروسکوپ نیروی مغناطیسی(MFM)	۵۲
۶-۳- یافتن دمای بلوری شدن	۵۴
۷-۳- آنالیزهای میکروساختار	۵۵
۸-۳- بررسی تحولات سطح نمونه در حین فرایند نانوبلوری شدن توسط میکروسکوپ نیروی اتمی	۵۸
۹-۳- بررسی تغییرات حوزه های مغناطیسی در حین فرایند نانوبلوری شدن توسط میکروسکوپ نیروی مغناطیسی	۶۷
۱۰-۳- تاثیر نانوبلوری شدن روی اندازه حوزه های مغناطیسی	۷۵
۱۱-۳- اثر نانوبلوری شدن روی مگنتوتنگش نوار	۸۱
۱۲-۳- اثر زبری سطح روی ضخامت دیوار حوزه های مغناطیسی، اندازه حوزه ها و وادارندگی مغناطیسی	۸۲
۱۲-۳-۱- زبری سطح و فاکتور دی مغناطش	۸۲
۱۲-۳-۲- ضخامت دیوار حوزه	۸۴
۱۲-۳-۳- اندازه حوزه	۸۶

۸۷ ۳-۱۲-۴ - وادارندگی مغناطیسی

فصل چهارم

نتیجه گیری

۹۰ ۴-۱ - مقدمه

۹۱ ۴-۵ - نتیجه گیری

۹۳ واژه نامه

۹۴ فهرست منابع

فهرست تصاویر و جداول

صفحه	عنوان
۴	شکل(۱-۱): الف) تصویری از وسوریوم ب) تصویری از ترلا
۱۹	شکل(۱-۲): رویدادهای متوالی نانوکریستالیزاسیون آلیاژهای
۱۶	شکل(۲-۲): ساختار کریستالی α -Fe (Si)
۲۲	شکل(۳-۲): چهارده وجهی نشان دهنده شکل دانه از مقطع مواد
۲۲	شکل(۴-۲): شکل شماتیکی مواد نانوبلور
۲۷	شکل(۵-۲): نفوذپذیری بر حسب اندازه دانه برای آلیاژهای مغناطیسی نرم مختلف
۳۰	شکل(۶-۲): ابزار مغناطیسی برای آشکارسازی وسایل نقله پارک شده
۳۴	شکل(۷-۲): چرخش ۱۸۰ درجه ای ممانت های دوقطبی در دیوار حوزه مواد فرومغناطیس
۳۷	شکل(۸-۲): منحنی مغناطش تک کریستال مکعبی آهن و مکعبی نیکل با میدان اعمالی موازی با جهات مختلف کریستالوگرافی
۴۶	شکل(۱-۳): شماتیکی از یک سلول DTA
۴۸	شکل(۲-۳): شماتیکی از پروف AFM
۴۸	شکل(۳-۳): شماتیکی از سیستم اپتیکی آشکارسازی خمش کانتی لیور
۴۹	شکل(۴-۳): سیستم مختصاتی و زوایای خاص اندازه گیری XRD
۵۰	شکل(۵-۳): پهن شدگی پیک XRD برای ذرات کوچک
۵۴	شکل(۶-۳): تیپ MFM در میدان مغناطیسی نمونه
۵۵	شکل(۷-۳): منحنی DTA نوار مغناطیسی $Fe_{73.5}Si_{13.5}B_9Nb_3Cu_1$

- شکل(۸-۳): الگوی XRD نمونه فاینمت بازپخت شده در دماهای مختلف ۵۷
- شکل(۹-۳): میکروسکوپ پرتویی روبشی مدل DME ۶۰
- شکل(۱۰-۳): تصویر سه بعدی AFM ، $20\text{ }\mu\text{m} \times 20\text{ }\mu\text{m}$ نمونه آمورف همراه با پروفایل خطی ارتفاع آن ۶۱
- شکل(۱۱-۳): تصویر سه بعدی AFM ، $20\text{ }\mu\text{m} \times 20\text{ }\mu\text{m}$ نمونه بازپخت شده در ۴۰۰ درجه سانتیگراد همراه با پروفایل خطی ارتفاع آن ۶۲
- شکل(۱۲-۳): تصویر سه بعدی AFM ، $20\text{ }\mu\text{m} \times 20\text{ }\mu\text{m}$ نمونه بازپخت شده در ۴۵۰ درجه سانتیگراد همراه با پروفایل خطی ارتفاع آن ۶۲
- شکل(۱۳-۳): تصویر سه بعدی AFM ، $20\text{ }\mu\text{m} \times 20\text{ }\mu\text{m}$ نمونه بازپخت شده در ۵۰۰ درجه سانتیگراد همراه با پروفایل خطی ارتفاع آن ۶۳
- شکل(۱۴-۳): تصویر سه بعدی AFM ، $20\text{ }\mu\text{m} \times 20\text{ }\mu\text{m}$ نمونه بازپخت شده در ۵۵۰ درجه سانتیگراد همراه با پروفایل خطی ارتفاع آن ۶۳
- شکل(۱۵-۳): تصویر سه بعدی AFM ، $20\text{ }\mu\text{m} \times 20\text{ }\mu\text{m}$ نمونه بازپخت شده در ۵۶۰ درجه سانتیگراد همراه با پروفایل خطی ارتفاع آن ۶۴
- شکل(۱۶-۳): تصویر سه بعدی AFM ، $20\text{ }\mu\text{m} \times 20\text{ }\mu\text{m}$ نمونه بازپخت شده در ۵۷۵ درجه سانتیگراد همراه با پروفایل خطی ارتفاع آن ۶۴
- شکل(۱۷-۳): تصویر سه بعدی AFM ، $20\text{ }\mu\text{m} \times 20\text{ }\mu\text{m}$ نمونه بازپخت شده در ۶۰۰ درجه سانتیگراد همراه با پروفایل خطی ارتفاع آن ۶۵

- شکل(۱۸-۳): تصویر سه بعدی AFM ، $20\text{ }\mu\text{m}\times 20\text{ }\mu\text{m}$ نمونه بازپخت شده در 65° درجه سانتیگراد همراه با پروفایل خطی ارتفاع آن ۶۵
- شکل(۱۹-۳): تصویر سه بعدی AFM ، $20\text{ }\mu\text{m}\times 20\text{ }\mu\text{m}$ نمونه بازپخت شده در 700° درجه سانتیگراد همراه با پروفایل خطی ارتفاع آن ۶۶
- شکل(۲۰-۳): تصویر فاز ، $20\text{ }\mu\text{m}\times 20\text{ }\mu\text{m}$ نمونه بازپخت شده در دماهای مختلف ۶۷
- شکل(۲۱-۳): تصویر MFM، $80\text{ }\mu\text{m}\times 80\text{ }\mu\text{m}$ نمونه آمورف ۶۹
- شکل(۲۲-۳): تصویر MFM، $40\text{ }\mu\text{m}\times 40\text{ }\mu\text{m}$ نمونه بازپخت شده در 560° درجه سانتیگراد و اندازه گیری عرض حوزه ۷۱
- شکل(۲۳-۳): تصویر MFM $20\text{ }\mu\text{m}\times 20\text{ }\mu\text{m}$ نمونه بازپخت شده در 400° درجه سانتیگراد و اندازه گیری عرض حوزه ۷۲
- شکل(۲۴-۳): تصویر MFM $20\text{ }\mu\text{m}\times 20\text{ }\mu\text{m}$ نمونه بازپخت شده در 450° درجه سانتیگراد و اندازه گیری عرض حوزه ۷۲
- شکل(۲۵-۳): تصویر MFM $20\text{ }\mu\text{m}\times 20\text{ }\mu\text{m}$ نمونه بازپخت شده در 500° درجه سانتیگراد و اندازه گیری عرض حوزه ۷۳
- شکل(۲۶-۳): تصویر MFM $20\text{ }\mu\text{m}\times 20\text{ }\mu\text{m}$ نمونه بازپخت شده در 550° درجه سانتیگراد و اندازه گیری عرض حوزه ۷۳
- شکل(۲۷-۳): تصویر MFM $20\text{ }\mu\text{m}\times 20\text{ }\mu\text{m}$ نمونه بازپخت شده در 575° درجه سانتیگراد و اندازه گیری عرض حوزه ۷۴
- شکل(۲۸-۳): تصویر MFM $20\text{ }\mu\text{m}\times 20\text{ }\mu\text{m}$ نمونه بازپخت شده در 600° درجه سانتیگراد و اندازه گیری عرض حوزه ۷۴

..... شکل(۲۹-۳): تصویر MFM، $20\text{ }\mu\text{m}\times 20\text{ }\mu\text{m}$ نمونه بازپخت شده در ۶۵۰ درجه سانتیگراد و اندازه گیری عرض حوزه	۷۵
..... شکل(۳۰-۳): تصویر MFM، $20\text{ }\mu\text{m}\times 20\text{ }\mu\text{m}$ نمونه بازپخت شده در ۷۰۰ درجه سانتیگراد و اندازه گیری عرض حوزه	۷۵
..... شکل(۳۱-۳): L_{ex}^3 ذره نانوبولور در حجم N	۷۶
..... شکل(۳۲-۳): تغییرات محور آسان موضعی با مکان و تغییرات جهت مغناطش در پاسخ به ناهمسانگردی موضعی و جفت شدگی تبادلی	۷۸
..... شکل(۳۳-۳): تغییرات مگنتوتنگش با دمای بازپخت حرارتی برای نوار فاینمتر	۸۲
..... شکل(۳۴-۳): مقدار فاکتور دی مغناطش به عنوان تابعی از نمای زیری سطح	۸۴
..... شکل(۳۵-۳): شماتیکی از دیوار بلاخ که t ضخامت نوار و D ضخامت دیوار را نشان می دهد	۸۷
..... جدول(۱-۲): ثابت های ناهمسانگردی برای آهن، نیکل و کبالت	۳۸
..... جدول(۱-۳): اندازه ذرات پس از باز پخت به مدت یک ساعت در دماهای گوناگون (محاسبه شده با رابطه شر ازالگوهای XRD)	۵۹

فهرست علائم و نشانه ها

a	پارامتر شبکه
A	سختی تبادلی
A_{am}	سختی تبادلی فاز آمورف
A_{cr}	سختی تبادلی فاز کریستالی
α	ثابت میدان متوسط
$\alpha_1, \alpha_2, \alpha_3$	کسینوس زاویه بین بردار مغناطیش و میدان اعمالی
B	القای مغناطیسی
B_s	القای مغناطیسی اشباع
B_J	تابع بریلوئن
$\beta_1, \beta_2, \beta_3$	کسینوس زاویه بین بردار مغناطیش و جهت میدان اشباع
c	سرعت نور
C	ثابت کوری
χ	پذیرفتاری مغناطیسی
D, Dg	اندازه دانه
E	انرژی
e	بار الکتریکی
E_{ex}	انرژی تبادلی
E_k	انرژی ناهمسانگردی
E_{mag}	انرژی مگنتواستاتیک
E_{me}	انرژی مگنتوتونگش
E_w	انرژی دیوار حوزه
g	فاکتور شکافتگی اسپکتروسکوپیک
h	ثابت پلانک
H	شدت میدان مغناطیسی
H_c	وادارندگی مغناطیسی
H_d	میدان دی مغناطیش
J	عدد کوانتمی ممنتوم زاویه ای کل

K	ثابت ناهمسانگردی
k_B	ثابت بولتزمن
k_1	اولین ثابت ناهمسانگردی برای شبکه مکعبی
K_2	دومین ثابت ناهمسانگردی برای شبکه مکعبی
K_u	ناهمسانگردی مغناطیسی تک محوری
K_{eff}	ناهمسانگردی مغناطیسی موثر
L	ممنتوم زاویه ای چرخشی
L_{ex}	طول تبادلی
l	طول
l_d	ضخامت دیوار حوزه
λ	مگنتوتنگش
M	مغناطش
M_s	مغناطش اشباع
m	ممان مغناطیسی
m_e	جرم الکترون
μ	نفوذپذیری مغناطیسی
μ_B	مگنترون بوهر
μ_i	نفوذپذیری ذاتی
μ_0	نفوذپذیری مغناطیسی خلاء
N	تعداد اتم ها در واحد حجم
N_d	فاکتور دی مغناطش
φ	زاویه
r	شعاع
S	عدد کوانتمی ممنتوم زاویه ای اسپین اتمی
T	دما
T_C	دمای کوری
AFM	میکروسکوپ نیروی اتمی
DTA	آنالیز حرارتی تفاضلی
MFM	میکروسکوپ نیروی مغناطیسی
XRD	پراش پرتوX

فهرست واحدها

T (تسلا)	B	القای مغناطیسی
T (تسلا)	B_s	القای مغناطیسی اشباع
بدون واحد	χ	پذیرفتاری مغناطیسی
J (ژول)	E	انرژی
Am^{-1} (آمپر بر متر)	H	شدت میدان مغناطیسی
Am^{-1} (آمپر بر متر)	H_c	وادارندگی مغناطیسی
Am^{-1} (آمپر بر متر)	H_d	میدان دی مغناطش
(ژول بر متر) J/m	K	ثابت ناهمسانگردی
• m (متر)	l	طول
Am^{-1} (آمپر بر متر)	M	مغناطش
Am^2 (آمپر بر متر مربع)	m	ممان مغناطیسی
Am^{-1} (آمپر بر متر)	M_s	مغناطش اشباع
Hm^{-1} (هانری بر متر)	μ	تراوایی مغناطیسی
K (کلوین)	T	دما
K (کلوین)	T_C	دما کوری

مقادیر ثابت‌های فیزیکی

$2/998 \times 10^8$	m/s	c	سرعت نور در خلاء
$-1/602 \times 10^{-19}$	c	e	بار الکتریکی
$6/626 \times 10^{-34}$	J s	h	ثابت پلانک
$1/381 \times 10^{-23}$	J/K	k_B	ثابت بولتزمن
$9/109 \times 10^{-31}$	Kg	m_e	جرم الکترون
$9/274 \times 10^{-24}$	$Am^2 (= J/T)$	μ_B	مگنترون بوهر
$1/165 \times 10^{-29}$	m/A		
$1/257 \times 10^{-6}$	H/m	μ_0	نفوذ پذیری خلاء

فصل اول

مقدمہ